

# آنالیز معکوس برداشت‌های مغناطیسی به منظور یافتن بی‌亨جارت‌های محلی با استفاده از الگوریتم ژنتیک

حسین ایزدی<sup>۱\*</sup>، غلامرضا نوروزی<sup>۲</sup>، بیژن روشن روان<sup>۳</sup> و سیما شکیبا<sup>۴</sup>

<sup>۱</sup> دانشجوی کارشناسی ارشد، گروه مهندسی اکتشاف نفت، دانشکده مهندسی معدن، پردیس دانشکده‌های فنی دانشگاه تهران، ایران  
آستانایار، گروه مهندسی معدن، دانشکده مهندسی، دانشگاه بیرجند، ایران

<sup>۲</sup> دانشجوی کارشناسی ارشد، گروه مهندسی اکتشاف معدن، دانشکده مهندسی معدن، دانشگاه صنعتی اصفهان، ایران

<sup>۳</sup> دانشجوی کارشناسی ارشد، گروه مهندسی اکتشاف معدن، دانشکده مهندسی معدن، پردیس دانشکده‌های فنی دانشگاه تهران، ایران

(دریافت: ۹۷/۵/۱۳، پذیرش نهایی: ۹۲/۱۱/۱۵)

## چکیده

روش‌های ژئوفیزیکی، نقش مهمی در اکتشاف منابع زیرزمینی بهویژه اکتشاف کانی‌های فلزی و غیرفلزی، مخازن هیدروکربوری، آب‌های زیرزمینی و تحقیقات زمین‌شناسی و مهندسی بر عهده دارند. روش‌های مغناطیسی‌ستجی از جمله روش‌های ژئوفیزیکی هستند که کاربرد عمده‌ای در یافتن بی‌亨جارت‌های مغناطیسی حاصل از کانی‌های فلزی، بهویژه کانسارت‌های آهن دارند. در بررسی داده‌های مغناطیسی‌ستجی، یکی از اهداف عمله، تفکیک بی‌亨جارت‌های مغناطیسی در مقیاس‌های گوناگون، بهویژه تفکیک بی‌亨جارت‌های محلی از بی‌亨جارت‌های ناحیه‌ای است. بدین منظور، می‌توان بی‌亨جارت ناحیه‌ای را در حکم یک صفحه در نظر گرفت و با مقایسه مقادیر اندازه‌گیری شده روی زمین و مقادیر شبیه‌سازی شده از صفحه، بی‌亨جارت‌های محلی را تفکیک کرد. تعیین معادله بهترین صفحه‌ای که بتواند بر بی‌亨جارت‌های ناحیه‌ای برازش داده شود، نقش بسیار مهمی در تعیین بی‌亨جارت‌های محلی دارد. به منظور برازش بهتر صفحه به بی‌亨جارت‌های ناحیه‌ای، می‌توان از روش‌های معکوس استفاده کرد، زیرا این روش‌ها نسبت به روش‌های سنتی نیاز به زمان کمتری دارند و جواب نهایی نیز دقت بیشتری دارند. روش‌های معکوس مبتنی بر بهینه‌سازی، در مدل‌سازی و بررسیتابع‌های غیرخطی کاربرد ویژه‌ای دارد و با توجه به پیشرفت علوم رایانه، روش‌های بهینه‌سازی پیشرفته‌ای با الهام‌گیری از فرایند طبیعی طراحی شده‌اند که کاربرد گسترده‌تری دارند. در این مقاله، از روش آنالیز معکوس مبتنی بر الگوریتم ژنتیک به منظور کمینه‌سازی تابع هدف استفاده شده است. تابع هدف به صورت معادله صفحه درجه دوم  $K = |A \times x^2 + B \times y^2 + C \times x \times y + D \times x + E \times y + F - z|$  است که بهینه کردن ضرایب A, B, C, D, E, F موضع مورد بررسی مقاله حاضر است. نتایج بدست آمده، نشان‌دهنده تفکیک صحیح بی‌亨جارت‌های ناحیه‌ای از بی‌亨جارت‌های کلی است و نتایج بسیار امیدبخشی در شناسایی بی‌亨جارت‌های محلی و پیشنهاد نقاط مناسب به منظور عملیات حفاری، حاصل شده است.

واژه‌های کلیدی: آنالیز معکوس، بی‌亨جارت مغناطیسی محلی، الگوریتم ژنتیک، کمینه‌سازی

## Inverse analysis of geomagnetic investigations for local anomaly detection using genetic algorithm

Izadi, H.<sup>1</sup>, Nowrouzi, GH.<sup>2</sup>, Roshan Ravan, B.<sup>3</sup> and Shakiba, S.<sup>4</sup>

<sup>1</sup> M.Sc. Student of Petroleum Exploration Engineering, Department of Petroleum Exploration, Faculty of Mining Engineering, University College of Engineering, University of Tehran, Iran

<sup>2</sup> Assistant Professor, Department of Mining Engineering, Faculty of Engineering, University of Birjand, Iran

<sup>3</sup> M.Sc. Student of Mining Engineering, Department of Mining Engineering, Faculty of Mining Engineering, Isfahan University of Technology, Iran

<sup>4</sup> M.Sc. Student of Mining Engineering, Department of Mining Engineering, Faculty of Mining Engineering, University College of Engineering, University of Tehran, Iran

(Received: 04 Aug 2013, Accepted: 04 Feb 2014)

## Summary

One of the most important goals in geomagnetic investigations is detecting local anomaly locations. Regional anomaly can be simulated as a trend surface, and local anomalies will be detected by comparison of measured data and simulated trend surface. The problem is trying to find best coefficients of trend surface model using inverse methods based on modern optimization techniques, which are faster and more accurate than common methods. The main idea of inverse method based on modern optimization approach is to search for a model, which gives its predicted values that are as close as possible to the observed ones. Extensive advances in computational techniques allowed researchers to develop new search strategies for use in optimization problems.

Genetic Algorithm is one of the evolutionary optimization algorithms, based on the population of chromosomes, which is widely used in engineering optimization problems. Evolutionary algorithms are developed based on swarm intelligence and social behavior of individuals in nature. Besides, the populations in evolutionary algorithms called agents affected by neighbor agents and the best agent. At the end, optimum solution will be specified with respect to optimize objective function.

In this paper, genetic algorithm is used for minimizing the differences between real and simulated data. In order to study geomagnetic anomaly, first, forward model should be developed and then, using inverse method based on GA, regional anomaly trend surface will be simulated. The objective function is defined as  $|Ax^2 + By^2 + Cxy + Dx + Ey + F + T_0 - z|$ , where,  $X$  and  $Y$  are positions of the field study locations that are measured by GPS and  $z$  is the magnetic value of the positions. Also,  $A, B, C, D, E$  and  $F$  are unknown coefficients that will be determined using inverse method. According to the objective function, a two-dimensional equation is proposed for simulating regional anomaly trend surface. Two-dimensional equations are better than one-dimensional and three-dimensional or higher dimensional equations. One-dimensional equations do not guarantee to cover all aspects of data. Besides, three or higher dimensional equations are also not recommended for modeling data; because, over fitting to the data may be occurred. Therefore, the two-dimensional equation is the best model for simulating the regional anomaly trend surface. It is important to note that the optimization technique will usually perform well in nonlinear forward models. The unknown coefficients of trend surface on regional magnetic anomaly in Doroh area in southeast of Iran were optimized using inverse analysis, and finally the local anomalies were detected. In order to find locations of local geomagnetic anomalies, total anomaly trend is subtracted from regional anomaly trend and then, the potential locations for drilling investigation are recognized.

Our experimental results demonstrate very promising results of the optimization technique for solving inverse problems using GA for detecting local geomagnetic anomaly trend surface, which is validating through drilling investigations. Besides, upward and downward pole filters and combination of them, which are common filters for detecting local geomagnetic anomaly locations, are used for conformation our results.

**Keywords:** Inverse analysis, Local magnetic anomaly, Genetic algorithm, Minimization

## ۱ مقدمه

از سنگ‌ها و مواد معدنی، خاصیت مغناطیسی قابل توجهی دارند و به همین منظور، برای بررسی آنها در زیر زمین می‌توان از روش‌های مغناطیسی‌سنگی استفاده کرد (تلفورد و همکاران، ۱۹۹۰).	روش‌های ژئوفیزیکی، یکی از مهم‌ترین و کاربردی‌ترین روش‌های بررسی پتانسیل‌های معدنی، نفتی، آبی و زمین‌شناسخی هستند (تلفورد و همکاران، ۱۹۹۰). تعدادی
---	---

بی‌亨جارتی‌های ناحیه‌ای از میدان مغناطیسی کل و یافتن بی‌亨جارتی‌های محلی، اغلب از الگوریتم‌های بهینه‌سازی کلاسیک استفاده شده است و الگوریتم‌های تکاملی استفاده‌های محدودتری داشته‌اند.

در این مقاله، ارائه یک روش قوی‌تر به‌منظور آنالیز معکوس بی‌亨جارتی‌های مغناطیسی و یافتن بی‌亨جارتی محلی با استفاده از الگوریتم ژنتیک، مورد بحث قرار گرفته است. به‌منظور تعیین بی‌亨جارتی‌های محلی و جداسازی آنها از بی‌亨جارتی‌های ناحیه‌ای، صفحه درجه دوم کاملاً بر منطقه بازش داده می‌شود. این صفحه نشان‌دهنده بی‌亨جارتی‌های ناحیه‌ای است و با کسر آن از میدان مغناطیسی کلی، بی‌亨جارتی‌های محلی که نشان‌دهنده مناطق دارای پتانسیل معدنی هستند، مشخص خواهند شد. در بررسی‌های مغناطیس‌سنجدی مقاله حاضر، خاصیت مغناطیسی تعداد ۱۰۰۰ نقطه اندازه‌گیری شده و هر نقطه دارای سه مقدار  $x$ ،  $y$  و  $z$  است که  $x$  نشان‌دهنده طول جغرافیایی،  $y$  نشان‌دهنده عرض جغرافیایی و  $z$  نشان‌دهنده مقادیر ثبت شده در دستگاه مغناطیس‌سنجد است. صفحه درجه دوم، به‌ازای ورودی‌های  $x$  و  $y$ ، یک مقدار  $z$  را نتیجه خواهد داد. بنابراین یک مقدار  $z$  از صفحه به وجود خواهد آمد و یک مقدار دیگر برای  $z$  در بررسی‌های مغناطیس‌سنجدی به‌دست آمده است. با استفاده از الگوریتم ژنتیک، ضرایب صفحه درجه دوم، به گونه‌ای بهینه‌سازی می‌شوند که اختلاف بین  $z$  واقعی و  $z$  شبیه‌سازی شده با صفحه درجه دوم، کمینه باشد. پس از به‌دست آوردن ضرایب معادله صفحه درجه دوم و تفاضل آن از میدان مغناطیسی کلی، مقادیر بی‌亨جارتی‌های محلی به‌دست خواهد آمد.

در ادامه این مقاله، ابتدا در بخش ۲ روش اکتشافی مغناطیسی، خاصیت مغناطیسی سنگ‌ها و فرایند جمع‌آوری پایگاه داده‌ای تشریح خواهد شد و در بخش ۳ به معرفی روش آنالیز معکوس و نحوه کاربرد آن در اکتشافات

و همکاران، ۱۹۹۰). در بررسی‌های مغناطیس‌سنجدی پس از اندازه‌گیری مقادیر میدان، برای یافتن بی‌亨جارتی‌های موجود در منطقه از روش‌های گوناگونی استفاده می‌شود. داده‌های حاصل از بررسی‌های مغناطیس‌سنجدی، داده‌های خام است و به‌منظور تشخیص بی‌亨جارتی‌ها، بایستی پیش‌پردازش‌ها و تفسیرهایی روی آنها صورت گیرد. تفسیرهای گوناگونی به‌منظور یافتن بی‌亨جارتی‌های مغناطیسی نظیر روش‌های مبتنی بر گسترش داده‌ها به سمت بالا یا پایین، روش‌های مبتنی بر مشتقات قائم و افقی میدان، کاهش به قطب، سیگنال تحلیلی و مانند آن وجود دارد (تلفورد و همکاران، ۱۹۹۰) که الگوریتم پیشنهادی، رویکردی مبتنی بر آنالیز معکوس با استفاده از الگوریتم ژنتیک به‌منظور یافتن بی‌亨جارتی‌های محلی مغناطیسی است.

تحقیقات متعددی در کاربرد روش‌های معکوس در بررسی‌های ژئوفیزیکی از جمله در تحقیقات مغناطیس‌سنجدی و گرانش صورت گرفته است. در چند نمونه از آن، (بوت، ۱۹۷۳)، (پارکر و هووستیس، ۱۹۷۴)، (اسکالز و اشایدر، ۲۰۰۰) و (کارین و همکاران، ۲۰۰۶) در تحقیقات خود، با استفاده از روش‌های آنالیز معکوس، به تفسیر بی‌亨جارتی‌های ژئوفیزیکی، مغناطیس‌سنجدی و گرانش که فلسفه و پایه تفسیر آن بسیار مشابه بی‌亨جارتی‌های مغناطیس‌سنجدی است (قاسم‌العسکری، ۱۳۹۰)، پرداخته‌اند. روش‌های آنالیز معکوس غیرخطی که عمدتاً مبتنی بر روش‌های کلاسیک بهینه‌سازی هستند، در بخش دیگری از تحقیقات ژئوفیزیکی و مغناطیس‌سنجدی از سوی (الجلبی، ۱۹۷۲) مورد بررسی و تفسیر قرار گرفته‌اند. با توجه به توانایی زیاد الگوریتم‌های بهینه‌سازی تکاملی، (بوسچتی و همکاران، ۱۹۹۶) این الگوریتم‌ها را به‌منظور بررسی بی‌亨جارتی‌های الکترومغناطیسی و لرزه‌ای مورد استفاده قرار داده‌اند. با این حال به‌منظور بررسی بی‌亨جارتی‌های مغناطیس‌سنجدی، به‌ویژه در حذف

تفاوت‌ها در خاصیت مغناطیسی سنگ‌ها) در هر نقطه باعث ایجاد بی‌هنگاری‌های مغناطیسی می‌شود و این تغییرات نسبی با دستگاه‌های مغناطیسی سنج که اکثرا تحت تاثیر میدان مغناطیسی کل قرار می‌گیرند، اندازه‌گیری می‌شود؛ بنابراین، بی‌هنگاری‌های مغناطیسی مشخص خواهند شد (قاسم‌العسکری، ۱۳۹۰).

## ۲-۲ خاصیت مغناطیسی سنگ‌ها

بیشتر کانی‌های تشکیل‌دهنده سنگ‌ها نه فقط خاصیت مغناطیسی کمی دارند، بلکه تمایلی برای مغناطیسی شدن نیز آشکار نمی‌سازند (تلفورد و همکاران، ۱۹۹۰). اما کانی‌های دارای اکسیدهای آهن و تیتانیم مانند مگنتیت و اولواسپینل، به علت خاصیت فری‌مغناطیس (Ferrimagnetism)، عامل به وجود آورنده بی‌هنگاری‌های مغناطیسی زیادی هستند و در بررسی‌های مغناطیس‌سنجدی، به این علت که سنگ‌های دارای این کانی‌ها دارای خاصیت مغناطیسی ذاتی هستند، می‌توان آنها را با این روش مورد بررسی قرارداد (قاسم‌العسکری، ۱۳۹۰).

## ۳-۲ فرایند جمع‌آوری پایگاه داده‌ای

در تحقیقات ژئوفیزیکی، برای هر منطقه و هر روش اکتشافی، بایستی پایگاه داده‌ای جدأگانه‌ای تهیه شود. بهمین منظور، در تهیه پایگاه داده‌ای این مقاله، مقادیر میدان مغناطیسی تعداد ۱۰۰۰ نقطه در منطقه اکتشافی «درح» واقع در جنوب شرقی ایران اندازه‌گیری شده است که دقت بالای این اندازه‌گیری‌ها، از نقاط قوت پایگاه داده‌ای این مقاله است. منطقه درح از لحاظ ساختاری در زون فیلیشی شرق ایران قرار دارد و واحدهای سنگی رخنمون یافته در این محدوده شامل سنگ‌های رسوبی نظیر شیل، ماسه سنگ و آهک‌های نازک لایه است.

ژئوفیزیکی پرداخته می‌شود. الگوریتم‌های تکاملی هوش مصنوعی و الگوریتم ژنتیک در بخش ۴ تشریح خواهد شد و در بخش ۵ نتایج آزمایشگاهی حاصل از این مقاله عرضه خواهد شد. درنهایت، در بخش ۶ نتایج و پیشنهادات خواهد آمد.

## ۲ روش اکتشافی مغناطیسی، خاصیت مغناطیسی

سنگ‌ها و فرایند جمع‌آوری پایگاه داده‌ای روش مغناطیس‌سنجدی، به‌منظور اکتشاف نوع خاصی از کانی‌ها قابل استفاده است، به‌گونه‌ای که کانی‌های موردنظر، بایستی دارای خاصیت مغناطیسی قابل توجهی باشند (تلفورد و همکاران، ۱۹۹۰). سنگ‌های دارای کانی مگنتیت و کانی‌های آهن‌دار، به‌طور ذاتی خاصیت مغناطیسی زیادی را از خود نشان می‌دهند و بنابراین گرینه‌های مطلوبی برای بررسی‌های مغناطیس‌سنجدی به شمار می‌آیند (تلفورد و همکاران، ۱۹۹۰). در زیربخش‌های بعدی، اصول اولیه روش اکتشافی مغناطیس‌سنجدی و خاصیت مغناطیسی سنگ‌ها به‌طور خلاصه تشریح می‌شود و در زیربخش ۳-۳ نحوه تشکیل و جمع‌آوری پایگاه داده‌ای تشریح خواهد شد.

## ۱-۲ روش اکتشافی مغناطیس‌سنجدی

اندازه‌گیری مقادیر میدان مغناطیسی روی زمین، نیازمند مهندسی قوی‌ای در روش‌های ژئوفیزیکی با توجه به شرایط زمین‌شناسی و ساختمانی منطقه، است. این کار بسیار طاقت‌فرسا است و نیاز به تحصص و تجربه زیادی دارد. این روش برای شناسایی تغییرات مغناطیسی سنگ‌های زیرین سطح زمین کاربرد دارد. با این روش می‌توان بی‌هنگاری مغناطیسی محلی در نقاط گوناگون زمین (در سطح زمین یا در چاه) را اندازه‌گیری کرد (قاسم‌العسکری، ۱۳۹۰). در واقع تفاوت نسبی تغییرات نیروی مغناطیسی (به علت

به طوری که نتایج حاصل از مدل، با نتایج واقعی کمترین اختلاف را داشته باشد. این در حالی است که در مسائل بهینه‌سازی، فقط یک مقدار در حکم جواب مسئله در نظر گرفته می‌شود و آن مقدار بهینه سراسری است.

### ۲-۳ نحوه کاربرد روش آنالیز معکوس در اکتشافات ژئوفیزیکی

استفاده از روش‌های معکوس در تفسیر بی‌هنجری‌های مغناطیس‌سنگی در مقیاس‌های بزرگ، نتایج بسیار با ارزشی را به دنبال دارد. آنالیز معکوس بی‌هنجری‌های مغناطیس‌سنگی، زیرمجموعه تفسیر غیرمستقیم بی‌هنجری‌ها است. استفاده از روش‌های آنالیز معکوس در اکتشافات ژئوفیزیکی، اغلب در مواردی استفاده می‌شود که عامل ایجاد کننده بی‌هنجری، یک میدان پتانسیل مانند میدان مغناطیسی یا میدان گرانشی زمین باشد (قاسم‌العسکری، ۱۳۹۰). به منظور شبیه‌سازی سطح روند بی‌هنجری ناحیه‌ای، در نظر گرفتن یک معادله صفحه درجه دوم به مترله مدل فرضی منطقه، بدین سبب است که معادله درجه اول توانایی نشان دادن رابطه بین بی‌هنجری‌های ناحیه‌ای را ندارد و معادله درجه سوم به بالا، ممکن است جزئیات بیشتر و اشتباہی را در حکم بی‌هنجری ناحیه‌ای معرفی کند و به نوعی برآش زیادی داده‌ها را به دنبال داشته باشد (حسنی پاک و شرف‌الدین، ۱۳۹۰).

### ۴ الگوریتم‌های تکاملی هوش مصنوعی و الگوریتم ژنتیک

امروزه با بزرگ شدن مسائل و اهمیت سرعت رسیدن به جواب، بیشتر از الگوریتم‌های جست‌وجوی هوشمند و ابتکاری به جای جست‌وجوی همه‌جانبه فضای مسئله استفاده می‌شود. در همین راستا، استفاده از الگوریتم‌های جست‌وجوی ابتکاری و تکاملی در سال‌های اخیر رشد چشمگیری داشته است (کوهن، ۱۹۹۶).

### ۳ روش آنالیز معکوس و نحوه کاربرد آن در اکتشافات ژئوفیزیکی

روش حل مسائلی که به روش مستقیم قابل حل نیستند، در ابتدا روش‌های سنتی بهینه‌سازی نظری کمینه‌سازی حداقل مربعات بوده‌اند (لیمز و تریتل، ۱۹۸۳؛ تارانتولا، ۱۹۸۷؛ منک، ۱۹۸۹؛ آستر و همکاران، ۲۰۰۵) که امروزه از روش‌های معکوس مبتنی بر بهینه‌سازی هوشمند به صورت گسترده در حل چنین مسائلی استفاده می‌شود (فرناندز-مارتینز و همکاران، ۲۰۱۰؛ جوانشیر و همکاران، ۲۰۱۳).

به طور کلی استفاده از این روش‌ها در اکتشافات ژئوفیزیکی بسیار مورد توجه است. در زیربخش‌های بعدی، روش‌های آنالیز معکوس و نحوه کاربرد آن در اکتشافات ژئوفیزیکی مورد بررسی قرار می‌گیرد.

### ۱-۳ روش آنالیز معکوس

مسائل معکوس دارای چندین جواب و به شدت به خطای اندازه‌گیری داده‌ها حساس هستند. بنابراین مسائل معکوس جزء مسائل خوش‌رفتار نیستند و از روش‌های عددی مستقیم نمی‌توان برای حل آنها استفاده کرد (اوگاما و هاول، ۱۹۹۵). در این مقاله، مسئله مورد بررسی، جزء مسائل تشخیصی روش‌های آنالیز معکوس است (ساباتیر، ۱۹۸۵). با توجه به معادله (۱)، مسائل تشخیصی بر مبنای کمینه‌سازی مجموع تفاضل‌های دو مقادیر شبیه‌سازی شده از معادله صفحه درجه دوم ( $H_S$ ) و مقادیر واقعی اندازه‌گیری شده با مغناطیس‌سنگ ( $H_R$ ) هستند (پارکر، ۱۹۷۷).

$$K = \sum_{i=1}^{1000} |H_S - H_R| \quad (1)$$

تفاوت اصلی روش آنالیز معکوس با بهینه‌سازی، در این است که در آنالیز معکوس، ورودی و خروجی فرایند، به‌ازای مقادیری معلوم است و هدف آن است معادله یا مدلی بر این ورودی و خروجی‌ها برآش داده شود

نمونه‌های دیگر این الگوریتم‌ها می‌توان به الگوریتم پخت شبیه‌سازی شده با الهام از مشاهدات ترمودینامیکی (کیرکپاتریک و همکاران، ۱۹۸۳)، الگوریتم جست‌وجویی جمعیتی مورچگان با شبیه‌سازی رفتار مورچه‌ها در جست‌وجوی غذا (دوریگو و همکاران، ۱۹۹۶)، الگوریتم بهینه‌سازی توده ذرات (کندی و ابرهارت، ۱۹۹۵) و الگوریتم جست‌وجوی گرانشی (راشدی و همکاران، ۲۰۰۹) اشاره کرد.

#### ۲-۴ الگوریتم ژنتیک

الگوریتم ژنتیک، روش جست‌وجوی احتمالی فراگیری است که از فرایند تکامل زیست‌شناختی طبیعی پیروی می‌کند (هوپت و هوپت، ۲۰۰۴). الگوریتم ژنتیک بر جمعیت جواب‌های بالقوه عمل می‌کند و اصول تنازع بقا را در تولید تقریب‌های بهتر در به‌دست آوردن جواب مسئله به کار می‌گیرد (ملانی، ۱۹۹۹). در هر نسل، مجموعه جدیدی از تقریب‌ها، با فرایند احتمال بیشتر انتخاب بهترین عضو براساس میزان برازش آنها در دامنه مسئله و تکثیر با عملگرهای برگرفته شده از ژنتیک طبیعی ساخته می‌شود. این فرایند درنهایت به تکامل جمعیتی از اعضاء ختم می‌شود که نسبت به اعضاء اولیه که در واقع والدین اصلی آنها هستند، با محیط سازگاری بهتری دارند (هوپت و هوپت، ۲۰۰۴). مبنای توسعه الگوریتم ژنتیک این است که جواب‌های ممکن در یک مسئله بهینه‌سازی را به صورت افرادی از جمعیت که از آنان با عنوان کروموزوم یاد می‌شود، در نظر می‌گیرد. این کروموزوم‌ها با شبیه‌سازی سیر تکاملی وراثتی انسان، به حل مسئله می‌پردازند (هوپت و هوپت، ۲۰۰۴). در ادامه، پارامترهای گوناگون الگوریتم ژنتیک از جمله کروموزوم‌ها، تابع برازش، انتخاب کروموزوم‌ها و تولید مثل و عملیات‌های تلفیق و جهش شرح داده خواهد شد.

یکی از الگوریتم‌های تکاملی هوش مصنوعی است که با الهام گیری از فرایند تولید مثل موجودات، مسائل پیچیده بهینه‌سازی را تحلیل می‌کند و کمینه یا بیشینه‌های آنها را مشخص می‌سازد.

#### ۱-۴ الگوریتم‌های تکاملی هوش مصنوعی و الگوریتم ژنتیک

این الگوریتم‌ها با الهام گیری از فرایندهای فیزیکی و بیولوژیکی طبیعت ایجاد شده‌اند و غالب آنها به صورت جمعیتی عمل می‌کنند (فرانانز-مارتینز و همکاران، ۲۰۱۰). چنین الگوریتم‌هایی برخلاف روش‌های کلاسیک، بر مبنای تصادف عمل می‌کنند و جست‌وجوی فضا را به صورت موازی عملی می‌سازند (کوهن، ۱۹۹۶). تفاوت دیگر آنها در استفاده نکردن از اطلاعات گردیدان فضا است. این نوع روش‌ها فقط از تابع برازنده‌گی برای هدایت جست‌جو استفاده می‌کنند اما به علت دارا بودن هوشمندی جمعی، قادر به کشف جواب هستند (کوهن، ۱۹۹۶). هوشمندی جمعی در مواردی ظاهر می‌شود که جمعیتی از عوامل غیر خبره موجود باشد. این عوامل هر کدام تحت شرایط معین، رفتارهای ساده‌ای بروز می‌دهند و به صورت محلی روی یکدیگر تاثیر دارند (تاراسویچ و مک مولن، ۲۰۰۲). تعاملات محلی اعضاء باعث به وجود آمدن اثرات فرامحلی می‌شود و درنهایت، کل مجموعه قادر است بدون داشتن یک کنترل کننده مرکزی راه حل مسئله را کشف کند (کوهن، ۱۹۹۶). رفتار اعضاء با به وجود آمدن ویژگی‌هایی مانند بازخورد مثبت، بازخورد منفی، تعادل بین کاوش و بهره‌وری و تعاملات چندگانه، باعث سازماندهی دستگاه از درون می‌شود که به این اثر، خودسازماندهی می‌گویند (تاراسویچ و مک مولن، ۲۰۰۲). در الگوریتم‌های گوناگون، تعاملات و تبادل اطلاعات بین اعضاء از راه‌های گوناگون صورت می‌پذیرد. از

تعیین شود، اعضا را می‌توان با احتمالی متناسب با میزان سازگاری نسبی آنها برای تولید نسل بعدی انتخاب کرد. این مرحله اولین مرحله ایجاد نسل بعد است.

#### ۴-۲-۴ تلفیق کردن یا تقاطع (crossover)

این عملگر ژنتیک، ژن‌های کروموزوم‌های انتخابی در مرحله قبل را با هم ترکیب می‌کند و درنهایت کروموزوم‌های سازگارتری به وجود می‌آید (هوپت و هوپت، ۲۰۰۴). در واقع این عملگر باعث تبادل اطلاعات ژنتیکی بین جفت‌ها، و به وجود آمدن کروموزوم‌های سازگارتر در جمعیت می‌شود. روش‌های گوناگونی برای تلفیق ژن‌های کروموزوم‌ها وجود دارد که هر کدام مزایا و ویژگی‌های خاصی را دارند. بنابراین تعدادی کروموزوم نیز در این مرحله تولید می‌شود. در تمام طول اجرای الگوریتم ژنتیک، مجموع کروموزوم‌های انتخابی و تلفیقی، معمولاً مساوی با تعداد کروموزوم‌های اولیه است ولی بهندرت با توجه به شرایط مسئله ممکن است بیشتر نیز باشد. این عملگر، لزوماً بر همه کروموزوم‌های جمعیت عمل نمی‌کند.

#### ۴-۲-۵ جهش (mutation)

جهش در کروموزوم‌ها که با ضرب می‌باشد به صورت درصدی بیان می‌شود، در واقع ایجاد نوعی تغییر تصادفی در آنها است و پس از تولید جمعیت جدید در مراحل انتخاب و تقاطع، به علت قرار نگرفتن در بهینه‌های محلی، عملگر جهش به کار گرفته می‌شود (هوپت و هوپت، ۲۰۰۴). همچنین جهش باعث می‌شود که نمایش ژنتیکی اعضای جمعیت بنا بر قاعده احتمالاتی تغییر کند (هوپت و هوپت، ۲۰۰۴). عملگر جهش، با احتمال معینی روی کروموزوم‌ها عمل می‌کند. برای ایجاد جهش، یک نرخ جهش وجود دارد که نشان‌دهنده این است که چه تعداد از اعضای جمعیت باید تحت عملگر جهش قرار گیرند. نحوه انتخاب کروموزوم‌ها برای جهش، تصادفی است.

#### ۱-۲-۴ کروموزوم‌ها

تعداد کروموزوم‌ها به صورت آزمون و خطأ تعیین می‌شود (ملانی، ۱۹۹۹) و با توجه به پیچیدگی و نوع تابع هدف، تعداد آنها متغیر است. اعضای موجود جمعیت، یا به عبارت دیگر تقریب‌های جاری جواب‌های بهینه مسئله، هر کدام به صورت رشته‌ای همانند کروموزوم‌های ژنتیک با پشت سر قرار گرفتن متغیرهای مسئله به وجود می‌آیند. متغیرهای مسئله که در تابع هدف وجود دارند به متزله ژن‌های هر کروموزوم انتخاب می‌شوند. بنابراین جمعیتی از کروموزوم‌ها به وجود می‌آید که هر کروموزوم به اندازه تعداد متغیرهای تابع هدف، ژن خواهد داشت. مقادیر ژن‌های هر کروموزوم، در جمعیت اولیه به طور تصادفی انتخاب می‌شوند و در مراحل بعدی اجرای الگوریتم، با استفاده از عملگرهای مخصوص ژنتیک به روز رسانی می‌شوند.

#### ۲-۲-۴ تابع برازش، انتخاب و تولید مثل

در این مرحله برازنده‌گی و عملکرد هر عضو جمعیت (کروموزوم‌ها) در حل مسئله ارزیابی می‌شود (هوپت و هوپت، ۲۰۰۴). در جهان طبیعی، این تابع در واقع نشان‌دهنده قدرت و توانایی موجودات برای زنده ماندن در محیط اطراف خودشان است (هوپت و هوپت، ۲۰۰۴). بنابراین میزان خوب بودن کروموزوم‌ها در این مرحله با تابع برازش تعیین می‌شود. در مرحله انتخاب، فرایند انتخاب تعدادی از کروموزوم‌ها برای انتقال به نسل بعدی مورد بررسی قرار می‌گیرد. تعداد کروموزوم‌هایی که از جمعیت  $X_{rate}$  فعلی به نسل بعدی انتقال خواهد یافت، با ضرب می‌صورت درصدی بیان می‌شوند. به طور کلی، اضافی که نسبت به دیگران سازگاری بیشتری دارند، احتمال بیشتری برای انتخاب خواهند داشت؛ در صورتی که، اضافی که سازگاری کمتری دارند به همان نسبت احتمال کمتری برای انتخاب دارند. هنگامی که میزان سازگاری هر عضو

## ۵ نتایج

پس از تشکیل پایگاه داده‌ای با دقت زیاد برای ۱۰۰۰ نقطه در محدوده اکتشافی درح واقع در جنوب شرقی ایران، در زیربخش ۱-۵ با استفاده از روش آنالیز معکوس و استفاده از الگوریتم ژنتیک به منظور بهینه کردن ضرایب تابع هدف (معادله (۲)، بی‌هنجری‌های ناحیه‌ای تشخیص داده شده و در زیربخش ۲-۵ بی‌هنجری ناحیه‌ای بدست آمده است که از مقادیر مغناطیسی کلی کسر خواهد شد و مقادیر نتیجه‌ی این تفاضل، نشان‌دهنده بی‌هنجری‌های محلی خواهد بود.

### ۱-۵ کمینه‌سازی تابع هدف با استفاده از الگوریتم ژنتیک

در این مقاله، به علت پیوسته بودن ماهیت داده‌ها، از نسخه پیوسته الگوریتم ژنتیک استفاده شده، و تعداد کروموزوم‌های هر نسل، به صورت آزمون و خطا برابر با ۲۰۰ کروموزوم در نظر گرفته شده است. همچنین از فرایند چرخ گردان به منظور تلفیق کروموزوم‌ها استفاده شده است؛ زیرا، این روش به همه کروموزوم‌ها به نسبت برازنده‌گی آنها، احتمال انتخاب به منظور شرکت در عملیات تلفیق را می‌دهد. عملگر جهش، با توجه به نرخ جهش تعیین شده، تعدادی از کروموزوم‌ها را به طور تصادفی انتخاب می‌کند و تغییرات تصادفی‌ای را در آنها به وجود می‌آورد که در طی افزایش دوره تکرار، تاثیر این عملگر، کاهش پیدا می‌کند. با توجه به پارامترهای تعیین شده الگوریتم ژنتیک و اجرای آن، مقادیر ضرایب معادله (۲) بهینه‌سازی خواهد شد.

$$K = \begin{vmatrix} A \times x^2 + B \times y^2 + C \times x \times y + \\ D \times x + E \times y + F - z \end{vmatrix} \quad (2)$$

تابع برازش این مسئله، همان کمترین اختلاف با مقدار میدان مغناطیسی کلی است که در محدوده مورد بررسی اندازه‌گیری شده است. در واقع تابع هدف به ازای مقدار

صفر بهینه‌سازی می‌شود. بنابراین در حل این مسئله، هر عضو (کروموزوم) که دارای اختلاف کمتری با مقادیر واقعی اندازه‌گیری شده با مغناطیس سنج باشد، دارای ارزش بیشتری خواهد بود. به منظور طراحی الگوریتم ژنتیک، چهار حالت متفاوت برای  $x_{rate}$  و  $\mu$  آزمایش شده است (۳)، (۴) مسینایی و همکاران، ۲۰۱۳ و با توجه به معادله (۳)، بهترین مقادیر پارامترهای کنترلی الگوریتم تعیین خواهد شد. این معادله به صورت تجربی بدست آمده است و یک مقیاس یکسان به منظور مقایسه حالت‌های گوناگون پارامترهای کنترلی الگوریتم ژنتیک است.

$$\text{Value} = N_{E < 5\%} \times (4) + N_{5\% < E < 7\%} \times (2) + N_{7\% < E < 9\%} \times (-1) + N_{9\% < E < 11\%} \times (-3) + N_{11\% < E < 13\%} \times (-5) + N_{13\% < E < 15\%} \times (-7) + N_{E > 15\%} \times (-9) - (\text{Best value} / 1000) \quad (3)$$

در این معادله،  $N_{\alpha\% < E < \beta\%}$  نشان‌دهنده این است که در بین ۱۰۰۰ داده موجود، در جواب‌های مدل برازش داده شده،  $N$  تای آن در مقایسه با مقادیر واقعی اندازه‌گیری شده با مغناطیس سنج، به اندازه  $\alpha\%$  تا  $\beta\%$  اختلاف دارد. همان‌طور که در جدول ۱ نشان داده شده است، در حالت اول تعداد ۹۰۹ داده کمتر از ۵٪ در مقادیر واقعی و مقادیر مدل‌سازی شده، در مقایسه با یکدیگر اختلاف دارند. در هر دوره تکرار الگوریتم، ۱۰۰۰ مقدار واقعی از ۱۰۰۰ مقدار شبیه‌سازی شده در همان دوره تکرار، کسر شده و مجموع قدر مطلق آنها ذخیره می‌شود. این مقدار در دوره تکرار نهایی در حکم مقدار پایه (Best Value) در نظر گرفته می‌شود که این مقدار در جدول ۱ نشان داده شده است. بنابراین در هر حالت، هر چقدر مقدار پایه کمتر باشد، آن حالت دارای احتمال بالاتری برای انتخاب شدن خواهد داشت.

بنابراین با استفاده از معادله (۳) و اطلاعات جدول ۱،

هریک از حالت‌های متفاوت پارامترهای کنترلی ارزش‌گذاری شده و نتایج آن در جدول ۲ آمده است. بنابراین از هر حالتی که ارزش بیشتری داشته باشد، در

آمد. شکل ۲ نشان‌دهنده منحنی کانتوری مقادیر کلی مغناطیسی بدون کاستن بی‌هنجری ناحیه‌ای است و شکل ۳ نشان‌دهنده بی‌هنجری‌های محلی است که حاصل تفاضل میدان کلی و بی‌هنجری‌های ناحیه‌ای است که در نقشه‌های کانتوری زیر، وجود تراکم بالای خطوط در هر نقطه، به طور کلی نشان‌دهنده بی‌هنجری است.

$$Z = \begin{vmatrix} A \times x^2 + B \times y^2 + C \times x \times y + \\ D \times x + E \times y + F \end{vmatrix} \quad (4)$$

با توجه به شکل‌های ۲ و ۳، می‌توان متوجه شد که کسر کردن بی‌هنجری‌های ناحیه‌ای از میدان مغناطیسی کلی، تاثیر بسزایی در یافتن بی‌هنجری‌های محلی دارد به‌طوریکه تعدادی از نقاط شکل ۲ که به ظاهر نشان‌دهنده پتانسیل معدنی هستند، در شکل ۳ حذف شده‌اند و تقریباً ۳ نقطه در حکم بی‌هنجری محلی درست در شکل ۳ مشخص شده است که این نقاط در مراحل بعدی اکتشاف، مورد توجه بیشتری قرار خواهند گرفت تا روشن شود که نقاط پیشنهادی این مقاله به منزله بی‌هنجری‌های محلی، در چاه‌های اکتشافی مورد تایید قرار گرفته است یا خیر.

**۳-۵ بررسی ژئوفیزیکی منطقه مورد بررسی**  
به منظور اطمینان حاصل کردن از صحت روند کار، از نرم‌افزار Oasis montaj و به کارگیری فیلترهای مناسب، به بررسی ژئوفیزیکی منطقه مورد تحقیق پرداخته شده است.

حکم پارامتر کنترلی در پیاده‌سازی الگوریتم استفاده خواهد شد. بنابراین حالت دوم ( $\mu = 0.2$  و  $x_{rate} = 0.57$ ) به منظور پیاده‌سازی الگوریتم انتخاب شده است.

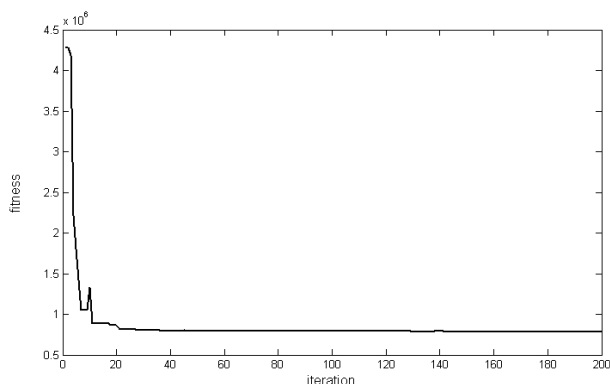
همگرا شدن الگوریتم در شکل ۱ نشان داده شده است که همگرا شدن مقادیر به سمت صفر، نشان‌دهنده عمل کردن صحیح الگوریتم است. با توجه به اجرای الگوریتم در ۲۰۰ دوره تکرار، مقادیر بهینه به دست آمده برای ضرایب معادله (۲) به شرح زیر است:

$$\begin{aligned} A &= -8.58 \times 10^{-4} \\ B &= 3.53 \times 10^{-3} \\ C &= 4.17 \times 10^{-3} \\ D &= 8.85 \times 10^{-1} \\ E &= -2.19 \\ F &= 1.51 \times 10^2 \end{aligned}$$

با استفاده از ضرایب به دست آمده و قرار دادن آن در معادله (۴)، مقادیر صفحه شبیه‌سازی شده که معرف بی‌هنجری ناحیه‌ای محدوده مورد بررسی است، به دست خواهد آمد.

## ۲-۵ یافتن بی‌هنجری‌های محلی مغناطیسی

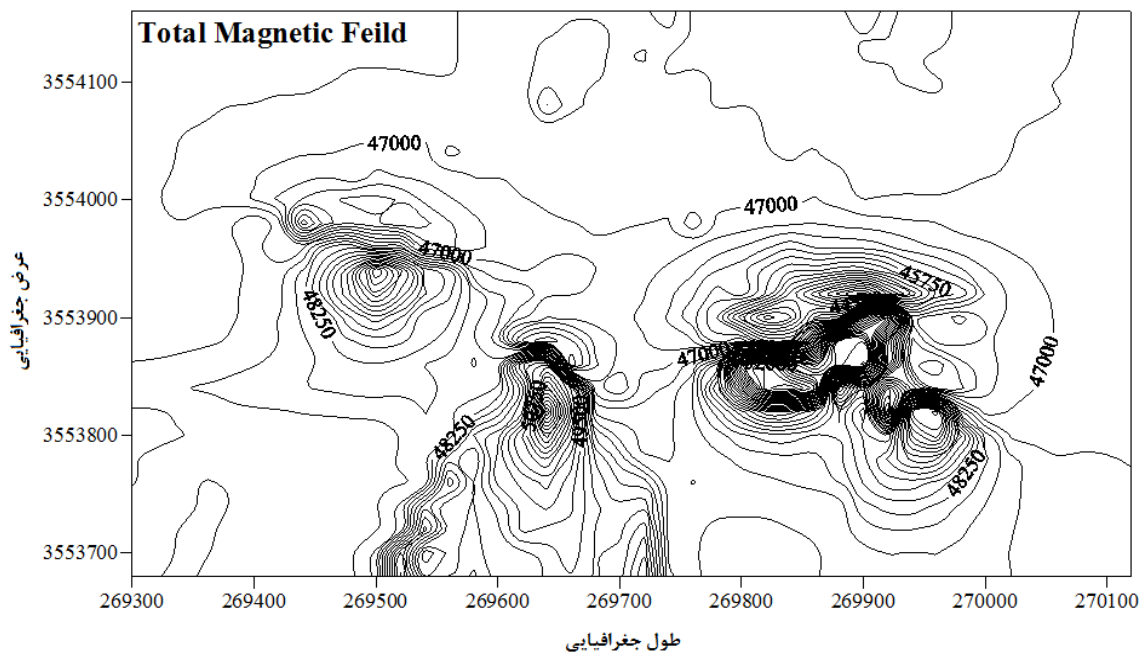
به منظور یافتن بی‌هنجری‌های محلی، اختلاف مقادیر اندازه‌گیری شده با مغناطیسی‌سنچ (که بیانگر میدان مغناطیسی کلی است) و  $Z$  محاسبه شده با معادله (۴) (که بیانگر بی‌هنجری ناحیه‌ای است) را محاسبه و توسط این مقدار، نقشه کانتوری بی‌هنجری‌های محلی به دست خواهد



شکل ۱. فرایند کمینه‌سازی تابع هدف.

جدول ۱.  $N_{\alpha\% < E < \beta\%}$  و مقدار پایه برای حالت‌های متفاوت پارامترهای کنترلی.

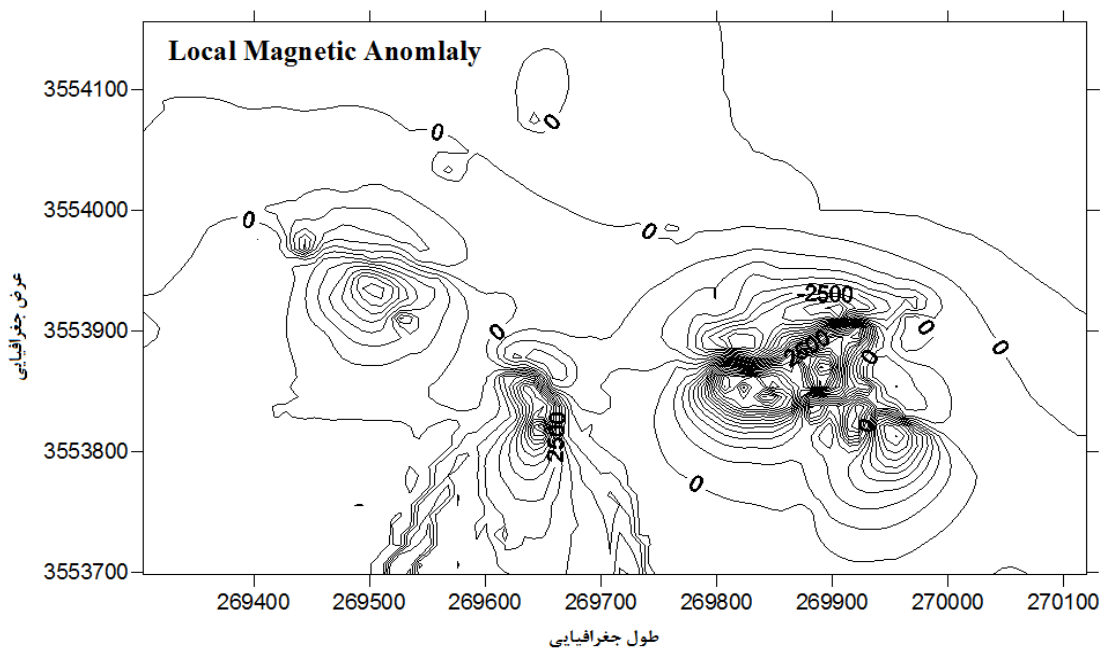
	$X_{rate}=0.5, \mu=0.15$	$X_{rate}=0.57, \mu=0.2$	$X_{rate}=0.57, \mu=0.15$	$X_{rate}=0.5, \mu=0.2$
Error<5%	909	907	909	904
5%<Error<7%	38	36	38	43
7%<Error<9%	21	24	21	21
9%<Error<11%	14	15	14	17
11%<Error<13%	11	11	10	7
13%<Error<15%	3	3	4	4
Error>15%	4	4	4	4
مقدار پایه	933089.225129583	892970.906667292	944322.306852567	1001646.91883506



شکل ۲. میدان کالی مغناطیسی.

جدول ۲. ارزش حالت‌های متفاوت پارامترهای کنترلی.

	$X_{rate}=0.5, \mu=0.15$	$X_{rate}=0.57, \mu=0.2$	$X_{rate}=0.57, \mu=0.15$	$X_{rate}=0.5, \mu=0.2$
مقدار	2603.910077487042	2626.02909333271	2590.67769314743	2529.35308116494



شکل ۳. بی‌هنجری مغناطیسی محلی.

برگردان به قطب به زوایای میل و انحراف نیاز است که با توجه به تبدیل مختصات UTM در مدل IGRF استفاده می‌شود.

زوایای به دست آمده برابر با  $I = 49.7^\circ$  (زاویه میل مغناطیسی) و  $D = 2.6^\circ$  (زاویه انحراف) است. این زوایا باعث چرخش و پیچش بی‌هنجری می‌شوند که با فیلتر برگردان به قطب تصحیح می‌شوند. این پردازش محل بی‌هنجری مغناطیسی را نسبت به محل کانی‌سازی تصحیح می‌کند و بی‌هنجری مغناطیسی در بالای محل کانسار قرار می‌گیرد. در واقع با برگردان بی‌هنجری به قطب مغناطیسی می‌توان محل دقیق بی‌هنجری برای حفاری را پیشنهاد کرد.

همان‌طور که در شکل ۵ نشان داده شده است، اثر دوقطبی B کاهش یافته است و این نشان‌دهنده شبب زیاد بی‌هنجری در این موقعیت است. در قسمت A نیز اثر دوقطبی نسبت به شکل ۴ کمتر شده است؛ اما همچنان دوقطبی دیده می‌شود.

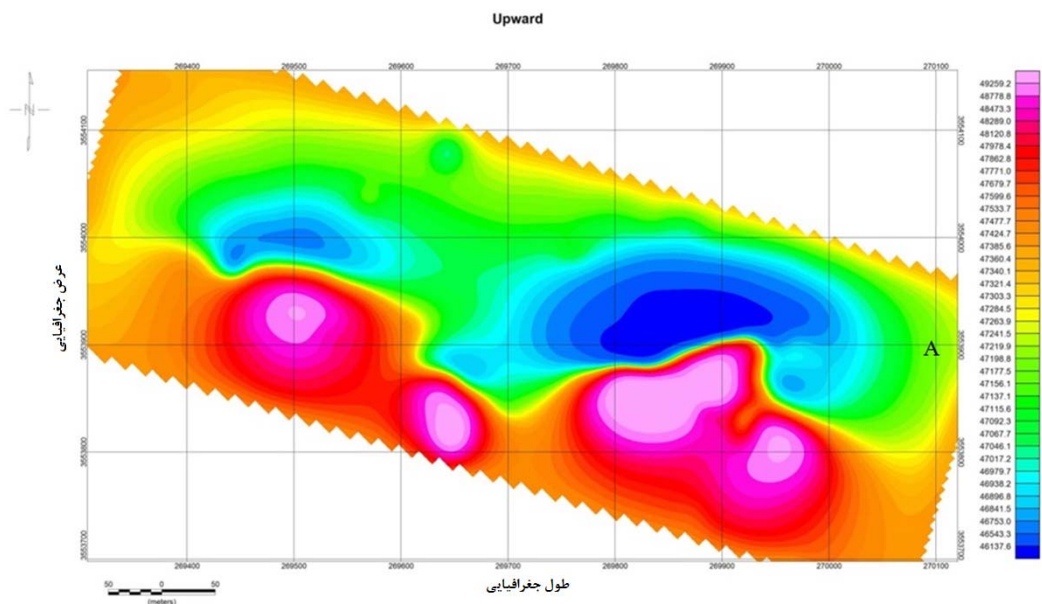
**۱-۳-۵ بررسی نقشه گسترش به سمت بالا**  
گسترش به بالا یک فرایند هموارساز است و میدان را در هر نقطه بالاتر از سطح زمین به دست می‌دهد. براین اساس نوشه‌های سطحی حذف می‌شود و اثر توپوگرافی را تا حدی کاهش می‌دهد؛ در نتیجه، امکان تشخیص بی‌هنجری راحت‌تر می‌شود.

به علت اینکه میدان مغناطیسی با مجذور فاصله نسبت عکس دارد، استفاده از ارتفاع بیشتر در فیلتر گسترش به سمت بالا اثر بی‌هنجری‌های کوچک و سطحی از بین می‌رود و بی‌هنجری‌های بزرگ و پی‌سنگ نمایان می‌شود. در شکل ۴، با توجه به حذف بی‌هنجری‌های سطحی، دوقطبی‌های A و B نشان داده شده‌اند.

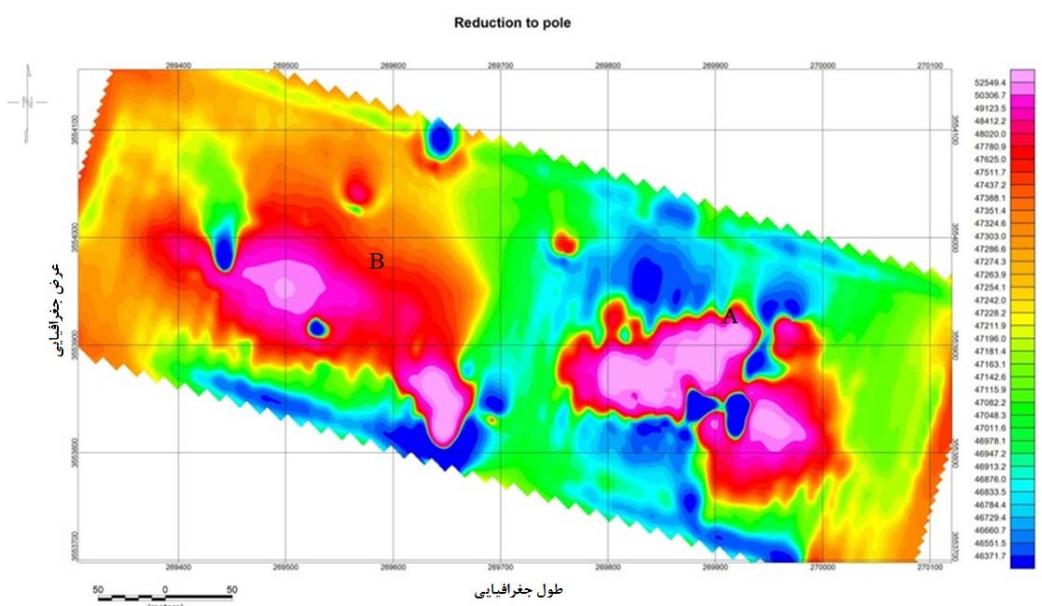
**۲-۳-۵ بررسی نقشه برگردان به قطب**  
بردار میدان مغناطیسی در عرض‌های گوناگون دارای امتدادهای متفاوتی است، ولی دستگاه مغناطیسی‌سنج فقط شدت بردار میدان را نشان می‌دهد. برای اجرای فیلتر

است دو بی‌هنگاری A و B وجود دارد. شیب دوقطبی A به طرف شمال است و نسبت به شکل ۴ به طرف شمال کشیده و اثر قطب مثبت بیشتر شده است. بی‌هنگاری B به صورت تک‌قطبی و شیب حدود ۹۰ درجه است.

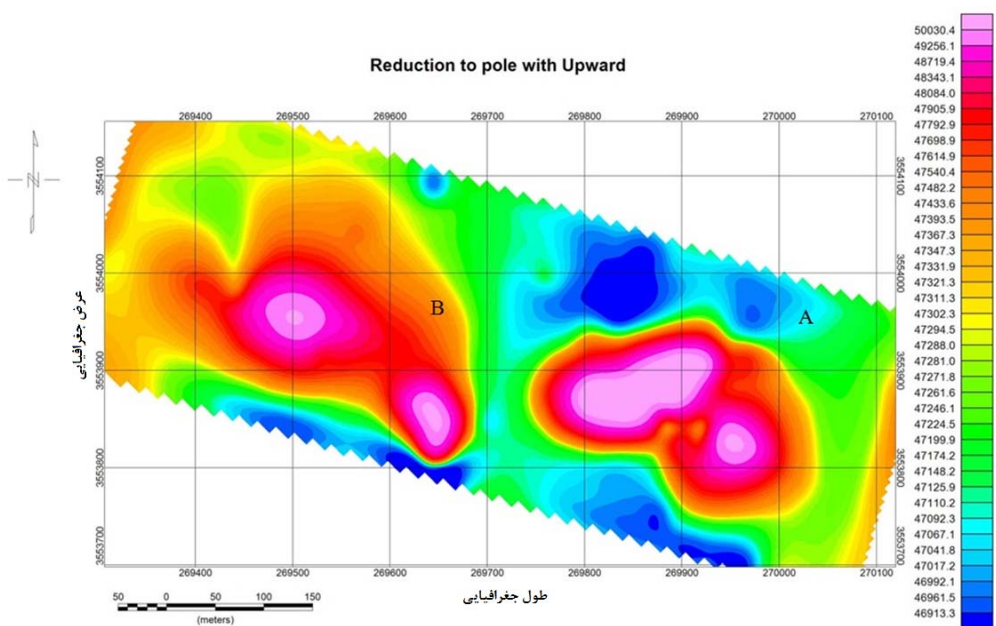
**۳-۳-۵ تلفیق فیلترهای برگردان به قطب و ادامه فراسو**  
برای داشتن درک بهتر از تعداد و شیب و شکل بی‌هنگاری‌ها، فیلترهای گسترش به بالا و برگردان به قطب را تلفیق می‌کنیم. با توجه به شکل ۶، همان‌طور که مشخص



شکل ۴. بی‌هنگاری‌های مغناطیسی با فیلتر گسترش به بالا.



شکل ۵. بی‌هنگاری‌های مغناطیسی با فیلتر برگردان به قطب.



شکل ۶. بی‌亨جاري‌های مغناطیسی با تلفیق فیلتر گسترش به بالا و برگردان به قطب.

محلی را با دقت بسیار زیادی از بی‌亨جاري‌های ناحیه‌ای تفکیک کند، به گونه‌ای که درستی نتایج روش پیشنهادی، با استفاده از روش‌های برگردان به قطب، ادامه فراسو و تلفیق این دو ارزیابی شد، و همه نتایج نشان‌دهنده صحیح بودن روش پیشنهادی است. همچنین، نتایج روش پیشنهادی با عملیات حفاری و مغازه‌گیری مورد ارزیابی قرار گرفته است که این نیز نشان‌دهنده عملکرد صحیح روش پیشنهادی است.

با مقایسه نتایج حاصل از الگوریتم ژنتیک و بررسی ژئوفیزیکی منطقه با نرم‌افزار Oasis montaj یکسان وجود دو بی‌亨جاري در منطقه می‌رسیم.

#### ۶ نتیجه‌گیری

استفاده از روش‌های آنالیز معکوس و بهینه‌سازی در اکتشافات ژئوفیزیکی بسیار مورد توجه است که در این مقاله روشی مبتنی بر آنالیز معکوس و بهینه‌سازی هوشمند برای یافتن بی‌亨جاري‌های محلی مغناطیس‌سنجدی عرضه شده است. در فرایند اجرای این تحقیق، پس از تهیه پایگاه داده‌ای از منطقه اکتشافی درح واقع در جنوب شرقی ایران با دقت زیاد که به مثابه قدمی اساسی و مهم تلقی می‌شود، با استفاده از الگوریتم ژنتیک سطح روند بی‌亨جاري‌های ناحیه‌ای به صورت یک معادله درجه دوم کامل شیوه‌سازی شد و با تفاضل مقادیر بی‌亨جاري‌های ناحیه‌ای از میدان مغناطیسی کلی، بی‌亨جاري‌های محلی که نشان‌دهنده پتانسیل‌های معدنی در منطقه هستند، بدست آمد. روش پیشنهادی در تحقیق حاضر قادر است بی‌亨جاري‌های

#### مراجع

- حسنی‌پاک، ع. ا. و شرف‌الدین، م.، ۱۳۹۰، تحلیل داده‌های اکتشافی، چاپ سوم، انتشارات دانشگاه تهران.  
قاسم‌العسکری، م. ک.، ۱۳۹۰، اصول ژئوفیزیک اکتشافی (روش‌های سنجش و چاه‌پیمایی ژئوفیزیکی)، ویرایش دوم، تهران، انتشارات آبیژ.
- Al-ghalabi, M, 1972, Interpretation of gravity and anomalies by non-Linear optimization, Geophys. Prosp., **20**, 1-16.
- Aster, R. C., Brochers, B. and Thurber, C. H., 2005, Parameter estimation and inverse

- Limes, L. R. and Treitel, S., 1983, Tutorial, a review of last-squares inversion and its application to geophysical problems, *Geophys. Prospect.*, **32**, 159-186.
- Oguma, M. and Howell, J. H., 1995, Solution of two-dimensional blackbody inverse radiation problem by inverse Monte Carlo method, Proc. ASME/JSME Joint Thermal Engineering Conf., Maui, Hawaii.
- Massinaei, M., Falaghi, H. and Izadi, H., 2013, Optimization of metallurgical performance of industrial flotation column using neural network and gravitational search algorithm, *Canadian Metallurgical Quarterly*, **52**(2), 115-122.
- Melanie, M., 1999, An introduction to genetic algorithms, MIT Press, Massachusetts, Fifth Printing.
- Menke, W., 1989, Geophysical data analysis: discrete inverse theory, international geophysics Series, Academic Press, San Diego, Ca.
- Parker, R. L. and Huestis, S. P., 1974, The inversion of magnetic anomalies in the presence of topography, *J. Geophysics. Res.*, **79**, 1587-1593.
- Parker, R. L., 1977, Understanding inverse theory, *Ann. Rev. Earth Planet Sci.*, **5**, 35-64.
- Rashedi, E., Nezamabadi-pour, H. and Saryazdi, S., 2009, GSA: a gravitational search algorithm, *Information Science*, **179**, 2232-2248.
- Sabatier, P., 1985, Inverse problems an introduction, *Inverse problems*, **1**(1), 1-4.
- Scales, J. A. and Snieder, R., 2000, The anatomy of inverse problems, *Geophysics*, **65**(6), 1708-1710.
- Tarantola, A., 1987, Inverse problem theory: methods for model parameter estimation, society of Industrial and Applied Mathematics, Philadelphia.
- Tarasewich, P. and McMullen, P. R., 2002, Swarm intelligence: power in numbers, Appears in communication of ACM, **45**(8), 62-67.
- Telford, W. M., Geldart, L. P. and Sheriff, R. E., 1990, Applied geophysics, 2<sup>nd</sup> edition, October, Cambridge University Press.
- problem, International Geophysics Book Series, Elsevier Academic Press, Amsterdam, **90**.
- Boot, M. H. P., 1973, Inverse methodes in ihe interpretation of magnetic and gravity anomalies, *Methodes in Computational Physics*, **13**, 62-133.
- Boschetti, F., Dentith, M. C. and List, R. D., 1996, Inversion of seismic refracting data using genetic algorithms, *Geophysics*, **61**(6), 1715-1727.
- Carbone, D., Currenti, G., Del Negro, C., Ganci, G. and Napoli, R., 2006, Inverse modeling in geophysical applications, VIII Conference SIMAI (Italian Society of Mathematics Applied to Industry), Baia Samuele (Ragusa), 22-26 May (oral Presentation).
- Dorigo, M., Maniezzo, V. and Colorni, A., 1996, The Ant system: optimization by a colony of cooperating agents, *IEEE Transaction on systems, Man and Cybernetics-part B*, **26**(1), 1-13.
- Fernandez-Martinez, J. L., Gonzalo, E. G., Fernandez Alvarez, J. O., Kuzma, H. A. and Menendez Prez, C. O., 2010, PSO: a powerful algorithm to solve geophysical inverse problems application to a 1D-DC resistivity case, *Journal of Applied Geophysics*, **71**, 13-25.
- Haupt, R. L., Haupt, S. E., 2004, Practical genetic algorithm, Second Edition, Wiley Interscience.
- Javanshir, S., Izadi, H., Tavakoli Mohammadi, M. R. and Sabeti, H., 2013, A modified correlation for drop size distributaio in a experimental mixer-settler using particle swarm optimization algorithm, *Separation Science and Technology Journal*, Taylor and Francis Publishing, In Press Paper.
- Kennedy, J., Eberhart, R. C., 1995, Particle swarm optimization, *Proceedings of IEEE International Conference on Neural Networks*, 1942-1948.
- Kirkpatrick, S., Gelatto, C. D. and Vecchi, M. P., 1983, Optimization by simulated annealing, *Science*, **220** (4598), 671-680.
- Kohonen, T., 1996, Self-organization and associative memory, third ed., Springer, Berlin.